

بهینه سازی و سرمایه گذاری نصب بهینه با تری ذخیره ساز در ریز شبکه با حضور برنامه های پاسخگویی بار به منظور کاهش هزینه با استفاده از الگوریتم کلونی زنبورها

نوع مطالعه: پژوهشی

صهباالسادات رجامند^۱

^۱ گروه مهندسی برق، واحد کرمانشاه، دانشگاه آزاد اسلامی، کرمانشاه، ایران،
srajamand@gmail.com

چکیده:

امروزه ریزشبکه ها نقش مهمی در سیستم های قدرت دارند. تعادل بار، پایداری ولتاژ و تامین بار مشتریان در موقعیت پیک بار از جمله مهم ترین کارهای ریزشبکه است. در کنار مزایا، چالش های مهم ریز شبکه مخصوصا هزینه آنها نیز باید دیده شود. بکاربردن ذخیره ساز و الگوی پاسخ تقاضا می تواند در پایداری بیشتر ولتاژ و کاهش هزینه های ریز شبکه نقش مهمی داشته باشد. در این مقاله با تعریف تابع هزینه شامل منابع تجدید پذیر، ذخیره ساز و پاسخ تقاضا سعی می کنیم با استفاده از الگوریتم هوشمند کلونی زنبورها، هزینه ریز شبکه را حداقل کنیم. کاربرد ذخیره ساز، باعث پایداری ولتاژ ریزشبکه می شود اما در کنار این مزیت، بایستی بحث طول عمر آن نیز لحاظ گردد که منجر به افزایش هزینه نگه داری و تعمیرات می شود. به همین دلیل، هزینه مربوط به طول عمر با تری نیز در تابع هزینه آورده شده است. نتایج شبیه سازی نشان می دهد که با در نظر گرفتن مکان و ظرفیت بهینه ذخیره سازها و الگوی مناسب پاسخ تقاضا، عملکرد ریزشبکه بهبود می باید و هزینه ها نیز کاهش یافته است.

واژه های کلیدی: ذخیره ساز، استهلاک با تری، الگوریتم بهینه سازی کلونی زنبورها، ریز شبکه، تابع هزینه

تاریخ ارسال مقاله: ۱۳۹۹/۰۸/۰۹

تاریخ پذیرش مقاله: ۱۳۹۹/۱۲/۱۵

نام نویسنده مسئول: صهباالسادات رجامند

نشانی نویسنده مسئول: گروه مهندسی برق، واحد کرمانشاه، دانشگاه آزاد اسلامی، کرمانشاه، ایران

۱. مقدمه

باد یا خورشیدی، حذف پیک یا سطح‌بندی بار و کاهش تغییرات ظرفیت ژنراتور بیان نمود. تکنولوژی‌های ذخیره شامل هیدروپمپ هوای فشرده، چرخ گردان (فلای ویل)، خازن‌های بزرگ و انواع باتری‌ها (لیتیوم-یون، سدیم-سولفور) هستند که در ظرفیت انرژی و سرعت شارژ-دشارژ فرق می‌کنند [۶-۸]. مثلاً هوای فشرده دارای ظرفیت انرژی بیشتر، اما سرعت شارژ و دشارژ کمتر است. در حالیکه خازن بزرگ، ظرفیت کمتر اما سرعت شارژ-دشارژ بیشتر دارد [۹]. همانطور که اشاره شد در حالت کلی، استفاده از ذخیره ساز نیازمند ایجاد مصالحه یا سازش بین پارامترهایی است که بر روی هزینه کلی سیستم قدرت تاثیر گذار است. از جمله هزینه‌هایی که ذخیره ساز بر سیستم تحمیل می‌کند می‌توان به هزینه‌های نصب اولیه، هزینه‌های سالانه نگهداری و سرویس، هزینه مربوط به استهلاک و جایگزینی تجهیزات و همینطور هزینه‌های روزانه مختص به شارژ و دشارژ اشاره نمود. بنابراین بسیاری از مقالات در پی کاهش هزینه‌های مرتبط با ذخیره سازها در جهت کاهش هزینه کلی سیستم هستند [۹-۱۰]. برای مثالی از هزینه باتری، مشخصه باتری لیتیوم-یون که به صورت گسترده در سیستم‌های تجدیدپذیر استفاده می‌شود، دارای ظرفیت حدود ۲۰ کیلووات ساعت می‌باشد. شارژ باتری بین ۶ تا ۷ ساعت برای شروع از ۲۰ درصد شارژ تا ۱۰۰ درصد شارژ طول می‌کشد. تعداد سیکل یا دوره این شارژ ۱۰۰۰ دوره است و هزینه این باتری ۸۰۰ دلار برای هر کیلووات ساعت است [۱۱]. مهمترین فاکتور تأثیرگذار بر روی طول عمر این باتریها، سطح شارژ و دشارژ، دما، ولتاژ و زمان است. تعداد دفعات شارژ و دشارژ این باتریها به وضعیت شارژ (SOC) بستگی دارد و طبق رابطه زیر است:

$$L = 694(1-SOC)^{-0.795} \quad (1)$$

که L تعداد دفعات شارژ-دشارژ را نشان می‌دهد و رابطه‌ی بالا تعداد دفعات سیکل شارژ-دشارژ را در حالت افزایش یا کاهش خطی محاسبه می‌کند. فاکتور ظرفیت باتری متناسب با دما، ولتاژ و زمان استفاده است که به صورت زیر می‌باشد [۱۱]:

$$\frac{C(t)}{C_{init}} = 1 + C_a C_v^{\left(\frac{v-v_i}{\Delta v}\right)} C_T^{\left(\frac{T-T_i}{\Delta T}\right)} \sqrt{t} \quad (2)$$

$$V(soc) = -1/0.31e^{-r_1 soc} + 3/685 + \\ + 0/2156soc - 0/1178soc^2 + 0/3201soc^3$$

$$T(x,t) = T_{av} + T_{am} \times \exp(-x \sqrt{\frac{\omega}{2a}}) \cos(\omega t) \\ + 0/77 - x \sqrt{\frac{\omega}{2a}} + c)$$

که $C(t)$ ظرفیت باتری در طول زمان، C_{init} ظرفیت اولیه، C_a ثابت زمانی ظرفیتی، C_v ثابت ولتاژی ظرفیتی، C_T ثابت دمایی ظرفیتی، ω فرکانس شارژ-دشارژ و T دمای اندازه‌گیری است.

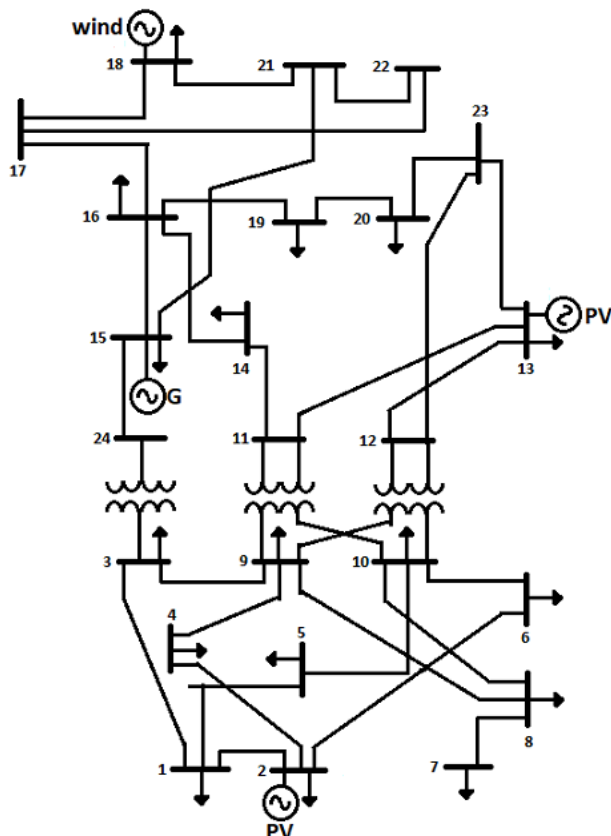
با توجه به گسترش روزافزون ریزشبکه‌ها و تاثیر آن‌ها بر پایداری شبکه قدرت، چالش‌های این سیستم قدرت و نحوه مقابله با آن‌ها مورد توجه بسیاری از محققان قرار گرفته است. از جمله چالش‌ها بحث مشارکت مشتریان در تعادل بار این سیستم است که پاسخ تقاضا نامیده می‌شود. پاسخ تقاضا عبارت است از ایجاد تغییراتی در مصرف توان مشتریان شبکه برق و یا قطع بار آنها در موقع پیک بار که به منظور تطبیق بهتر تقاضای توان با منبع انرژی انجام می‌پذیرد. با توجه به اینکه در موقع پیک بار ممکن است ریزشبکه قادر به تامین همه بار نباشد و از ظرفی استفاده از حداکثر توان باتری و ذخیره ساز نیز موجب تحمیل هزینه و خرابی باتری می‌شود، بنابراین شبکه‌های قدرت با استفاده از استراتژی پاسخ تقاضا سعی در تعادل توان شبکه دارند. در بعضی موارد، مشتریان تقاضای توان را با به تقویق انداختن برخی کارهایی که توان الکتریکی بالایی دارند و یا با پرداخت هزینه بیشتر برای مصرف‌شان، تنظیم می‌کنند. پاسخ تقاضا عمدتاً به اصلاح مصرف برق توسط مشتریان نهایی شبکه برق در زمان عدم تعادل سیستم اشاره دارد در حالیکه از ابتدا به منظور پشتیبانی قابلیت اطمینان سیستم قدرت در ساعات پیک بار توسعه یافته است. در بعضی موارد دیگر، با ایجاد طرحی مانند پرداخت مبالغ تشویقی برای القای مصرف کمتر مشتریان در هنگام پیک بار سعی در اجرای الگوی پاسخ تقاضا و تعادل توان شبکه می‌شود [۱-۴]. ذخیره انرژی نیز به عنوان راهکاری مناسب در ریزشبکه به عنوان منبع تولید انرژی در موقع پیک بار یا کاهش تولید و هم‌چنین عامل اطمینان بیشتر سیستم تلقی می‌شود. سرمایه‌گذاری در مبحث ذخیره ساز با توجه به افزایش قابلیت سیستم و اصلاح پروفیل ولتاژ و توان شبکه نه تنها باعث افزایش هزینه نمی‌شود بلکه در برگشت سرمایه و صرفه جویی در هزینه‌های دیگر شبکه کمک شایانی می‌کند. در واقع، انرژی اضافی در سیستم‌های ذخیره، مانند باتری و یا خازنهایی با ظرفیت‌های مناسب، ذخیره می‌شود تا در موقع پیک بار یا در موقعی که انرژی تولیدی نیروگاه کاهش می‌باید از آن انرژی ذخیره شده استفاده شود. برخی روش‌های ذخیره انرژی، کوتاه مدت بوده و می‌توانند انرژی را برای مدت کمی ذخیره کنند و برخی دیگر از روش‌های ذخیره انرژی بلند مدت می‌باشند. به طورکلی مفهوم ریزشبکه و روش‌های انرژی تجدیدپذیر با سیستم‌های ذخیره انرژی مرتبط می‌باشند که با ذخیره انرژی در ساعات غیرپیک و استفاده از آن در ساعات پیک بار، باعث افزایش راندمان انرژی می‌شود. اگرچه این روشها به علت مسائل مختلفی مانند شارژ و دشارژ، اینمی، قابلیت اطمینان، اندازه، هزینه، طول عمر و مدیریت‌هایی کلی با چالشهایی روبرو می‌باشد. بنابراین یک سیستم ذخیره پیشرفته با لاحاظ کردن ظرفیت، حفاظت، کنترل، مدیریت انرژی و ویژگی‌هایی برای ارتقای عملکرد سیستم ذخیره انرژی نیاز است [۵]. مزایای دیگر به کاربردن ذخیره‌ساز در شبکه قدرت را می‌توان در مواردی مانند منبعی برای تعادل تغییرات منابع انرژی مانند

- درنظر گرفتن عدم قطعیت منابع تجدیدپذیر خورشیدی و بادی

می باشد. ادامه این مقاله به این ترتیب است. در بخش ۲ مدل سیستم شبکه قدرت، در بخش ۳ تابع هدف، در بخش ۴ الگوریتم پیشنهادی و بهینه سازی، در بخش ۵ نتایج شبیه سازی و در انتهای در بخش ۶ نتیجه گیری مقاله بیان می شود.

۲. مدل شبکه قدرت

در این بخش، مدل ریز شبکه شامل منابع انرژی ثابت و تصادفی و باسها در شکل ۲ نمایش داده شده است. از مدل ۲۴-باشه برای ریز شبکه استفاده شده است. هم چنین ریز شبکه دارای دیزل ژنراتور به عنوان منبع ثابت و منابع خورشیدی و بادی به عنوان منابع تجدیدپذیر می باشد. ذخیره سازها نیز برای بهبود پروفیل ولتاژ و کاهش هزینه در نظر گرفته شده است.



شکل ۲: مدل ۲۴-باشه ریز شبکه مفروض

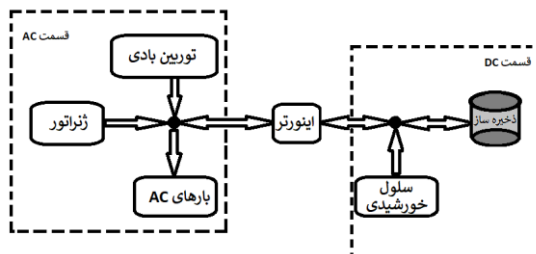
۳. تابع هدف

در این بخش تابع بهینه سازی برای کاهش هزینه پیشنهاد می شود که در زیر آمده است:

$$f_{day}(ct) = \sum_{i=1}^h \{(P_G \times S_G + P_{ESS} \times S_{ESS} + P_{PV} \times S_{PV} + P_{WT} \times S_{WT} + P_{DR} \times S_{DR}) \Delta t_i + C_{wear} \times S_{wear}\} \quad (3)$$

جدا از بحث عمر و خرابی با تری ذخیره سازها، بحث مکان و ظرفیت بهینه آنها در مدل ریز شبکه بسیار حائز اهمیت است و در مقالات زیادی مورد مطالعه بوده است [۱۲]. تعداد زیاد ذخیره ساز قطعاً هزینه را افزایش می دهد و تعداد کم آنها نیز ممکن است عملکرد بهینه نداشته باشد. همچنین تعیین ظرفیت ذخیره ساز مهم و حیاتی می باشد چون ذخیره ساز بزرگ دارای هزینه سرمایه گذاری و تعمیرات بیشتر است. بنابراین مصالحة در این بخش از مساله نیز چالش مهمی دارد.

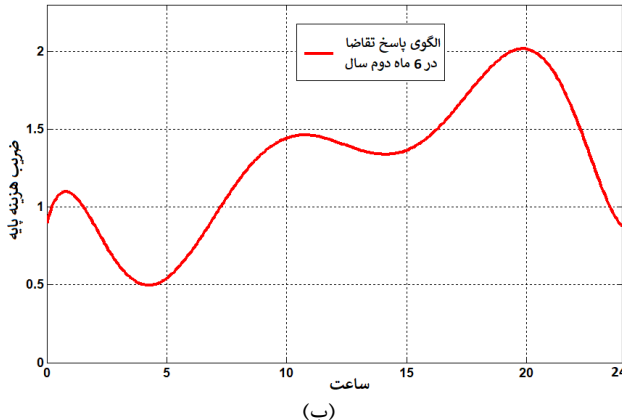
علاوه بر بحث پاسخ تقاضاً و ذخیره سازها، بحث منابع تولید انرژی برنامه پذیر یا غیر برنامه پذیر نیز در بازدهی و هزینه سیستم موثر است. توضیح آنکه در یک ریز شبکه، منابع برنامه پذیر را می توان متناسب با تقاضاً برنامه ریزی کرد اما منابع غیر قابل پیش بینی مثل انرژی بادی و خورشیدی باید با در نظر گرفتن عدم قطعیت، در کاهش هزینه سیستم، کمک شایانی انجام دهند. در واقع، منابع خورشیدی و بادی با توجه به شرایط محیطی و آب و هوایی به شدت تغییر می کنند و دارای ماهیت تصادفی هستند. بنابراین لزوم مدل سازی این منابع بر پایه مدل های آماری اجتناب ناپذیر است [۱۳-۱۸]. در شکل ۱، بلوك دیاگرام شامل منابع مختلف در ریز شبکه نشان داده شده است.



شکل ۱: بلوك دیاگرام شامل منابع مختلف در ریز شبکه

در این مقاله در پی آنیم که با در نظر گرفتن موارد بالا یعنی پاسخ تقاضاً، ذخیره ساز و هزینه خرابی با تری، و تولید انرژی منابع غیرقابل برنامه ریزی مثل انرژی خورشیدی و بادی، تابع بهینه سازی را در جهت کاهش هزینه ها تشکیل داده و با الگوریتم هوشمند کلونی زنبورها، آن را بهینه سازیم. بسیاری از مقالات از روش های هوشمند برای یافتن نقاط بهینه ذخیره سازها و منابع تجدیدپذیر استفاده کرده اند چون روش های مرسوم مثل گرادیان، با توجه به پیچیدگی و چند متغیره بودن مساله، مؤثر نیستند [۱۹-۲۴]. با استفاده از الگوریتم کلونی زنبورها، مکان اعمال ذخیره سازها در شبکه قدرت و نیز پاسخ تقاضاً به عنوان نتایج این تحقیق بدست می آید. در انتهای با توجه به بهینه سازی مکان و ظرفیت ذخیره سازها و توان بهینه پاسخ تقاضاً، هزینه سیستم در حالت کلی کاهش یافته و عملکرد ریز شبکه بهبود می یابد. نوآوری این مقاله شامل:

- اعمال پاسخ تقاضاً در تابع هزینه و بهینه سازی
- اعمال سیستم ذخیره، بهینه سازی مکان و ظرفیت و تحلیل تابع بهینه سازی



شکل ۳: الگوی پاسخ تفاضل و پیک بار (الف) برای نیمه اول سال (ب) برای نیمه دوم سال

هزینه ذخیره‌سازی، هزینه مرتبط با پیاده شارژ و شارژ-دشارژ آنهاست. هزینه استهلاک و خرابی باتری نیز مرتبط با تعمیر و نگهداری ذخیره ساز باتری است. در رابطه با هزینه استهلاک باتری می‌توان گفت که طول عمر باتری بهشدت وابسته به چگونگی کارکرد آن است و تابعی از توان شارژ-دشارژ و وضعیت شارژ می‌باشد. نکته شایان ذکر اینست که در رابطه (۳) به دنبال حداقل کردن تابع هزینه روزانه یا سالیانه هستیم و همه متغیرها یا پارامترها قطعی هستند و تنها مولفه تصادفی و غیر قطعی تولید انرژی خورشیدی و بادی است که با توجه به پارامترهایی مثل دما، رطوبت، تابش خورشید و سرعت باد در روزهای مختلف متغیر است. معمولاً دو رویکرد برای برخورد با این پدیده تصادفی در نظر گرفته می‌شود. اول اینکه با استفاده از مدل‌سازی تصادفی و استفاده از الگوریتم هوشمند، پیش‌بینی توان خورشیدی و بادی در روزهای مختلف انجام می‌گیرد. برای این کار نیاز به پایگاه داده دقیق و به روز است و پیچیدگی نسبتاً زیادی دارد. در روش دوم که پیچیدگی محاسباتی کمتری دارد یک مقدار میانگین توان خورشیدی و بادی در نظر گرفته می‌شود و با در نظر گرفتن توزیع احتمال نرمال، چندین واریانس برای این توان در قالب چندین سناریو فرض می‌شود و با استفاده از حالات مختلف مونت کارلو در تابع بهینه سازی اعمال می‌شود. برای تولید انرژی خورشیدی و بادی با توجه به عدم قطعیت مساله می‌توان تابع توزیع نرمال در نظر گرفت که در واقع داریم:

$$f_{PV}(P) = \frac{1}{\sqrt{2\pi}\sigma_{PV}} \exp\left(-\left(P - P_{PV,avg}\right)^2 / 2\sigma_{PV}^2\right) \quad (5)$$

که $P_{PV,avg}$ مقدار توان متوسط تولیدی خورشیدی و σ_{PV} واریانس این توان از مقدار میانگین است. برای توان بادی نیز به صورت مشابه داریم:

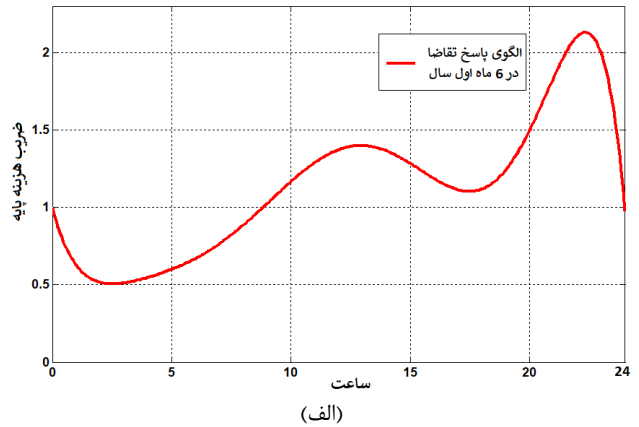
$$f_{WT}(P) = \frac{1}{\sqrt{2\pi}\sigma_{WT}} \exp\left(-\left(P - P_{WT,avg}\right)^2 / 2\sigma_{WT}^2\right) \quad (6)$$

که $P_{WT,avg}$ مقدار توان متوسط تولیدی خورشیدی و σ_{WT} واریانس این توان از مقدار میانگین است. با افزایش و کاهش واریانس توان های

در این تابع p_6 توان ژنراتور، P_{ESS} توان ذخیره‌ساز، P_{PV} توان خورشیدی، P_{WT} توان بادی و P_{DR} توان پاسخ تفاضل هستند. همچنین پارامترهای S_G ، S_{DR} ، S_{PV} ، S_{WT} و S_{wear} به ترتیب هزینه ژنراتور، هزینه ذخیره‌ساز، هزینه خورشیدی، هزینه بادی، هزینه پاسخ تفاضل و هزینه استهلاک و نگهداری باتری بر حسب $\frac{\$/kwh}{h}$ هستند. بازه‌های زمانی در طی یک شب‌نیمه روز را نشان می‌دهد که معمولاً گام‌های زمانی ۲ یا ۳ ساعته انتخاب می‌شود. h تعداد گام زمانی، ct هزینه و $f_{day}(ct)$ تابع هزینه روزانه را نشان می‌دهد. برای محاسبه هزینه سالیانه بایستی تابع بالا را بر روی تعداد روز سال که ۳۶۵ روز است جمع بیندیم و داریم:

$$f_{year}(ct) = \sum_{i=1}^{365} f_{day,i}(ct) \quad (4)$$

در واقع استراتژی این مساله این است که در موقع پیک بار، اگر تقاضای بار مشتریان افزایش یابد، هزینه‌ای بر شبکه تحمیل شده و جریمه‌ای شامل مشتری می‌شود. DR به عنوان پاسخ تفاضل، ESS که نماینده ذخیره سازی و C_{wear} هزینه استهلاک باتری است. برای هزینه پاسخ تفاضل تابعی را در نظر می‌گیریم که در موقع پیک بار باید هزینه پرداختی یا جریمه مشتری بیشتر و در موقع غیر پیک، بسیار کمتر است. الگوی شکل ۳ را برای پاسخ تفاضل در نظر می‌گیریم. ذکر این نکته مهم است که با توجه به تغییر الگوی پیک بار، دو تابع یکی برای نیمه اول سال و دیگری برای نیمه دوم سال در نظر می‌گیریم که در شکل زیر نمایش داده شده است. در این شکل‌ها مشخص است که در موقع پیک بار، ضریب هزینه مصرف مشتری چندبرابر شده و در موقع کم‌باری، این ضریب کاهش می‌یابد.



(الف)

بنابراین با یک تابع هدف چند متغیره چند قیده مواجه هستیم که بهینه سازی آن با توجه به پیچیدگی مساله بایستی از طریق الگوریتم های تکاملی و هوشمند انجام گیرد.

۴. الگوریتم پیشنهادی و بهینه سازی

در این بخش سعی بر آنست که از الگوریتم هوشمند کلونی زنبورها برای رسیدن به نقطه بهینه تابع هدف استفاده کنیم. با توجه به اینکه مساله تعریف شده یک تابع تک هدفه با هدف حداقل سازی تابع هزینه اما با چند متغیر چندین قید یا محدودیت است، استفاده از روش مرسوم گرادیان در اینجا مفید نیست و بنابراین از الگوریتم های هوشمند استفاده می کنیم. الگوریتم های هوشمند با در نظر گرفتن جمعیت شامل متغیرهای مساله و بررسی قید بهینه سازی و همچنین با استفاده از تکرارهای متعدد، سعی در رسیدن به هدف بهینه دارند. الگوریتم کلونی زنبورها یکی از قوی ترین ابزارها در راستای این هدف است و از ایده هوشمندی زنبورها در رسیدن به هدف (غذا) در کوتاه ترین مسیر (هزینه کمتر) استفاده می کند. در واقع زنبورها همان متغیرهای مساله و کوتاه ترین مسیر، همان کمترین هزینه در مساله ریز شبکه مطرح شده است. در ابتدا جایابی غذا به صورت مقادیر تصادفی و اولیه تعريف می شود:

$$X_{ij} = X_{j,min} + rand \times (X_{j,max} - X_{j,min}), \quad i = 1, 2, \dots, NFS \quad j = 1, 2, \dots, J \quad (14)$$

که جمعیت NFS ام در بردار J است و پارامتر NFS که نشان دهنده تعداد غذا است برابر 50 فرض می شود.

$$X_{j,ne}^{iter+1} = X_{j,ne}^{iter+1} + sign \times [c_1.rand.(pbest_{j,ne} - X_{j,ne}^{iter}) + c_2.rand.(gbest_j - X_{j,ne}^{iter})] \quad (15)$$

که بهترین موقعیت فعلی و $gbest$ بهترین موقعیت کلی است.

$$c_1 = (c_{1f} - c_{1i}) \times \frac{iter}{iter_{max}} + c_{1i}, \quad c_2 = (c_{2f} - c_{2i}) \times \frac{iter}{iter_{max}} + c_{2i} \quad (16)$$

که نحوه بروزرسانی ضایعه مساله است. برای بیشتر کردن گستره جستجو در الگوریتم، رابطه زیر را در هر تکرار می توان نوشت:

$$Prob(X_{j,ne}^{iter}) = \frac{\frac{1}{Fitness(X_{j,ne}^{iter})}}{\sum_{ne=1}^{NFS} \frac{1}{Fitness(X_{j,ne}^{iter})}} \quad (17)$$

$$X_{j,no}^{iter} = X_{j,no}^{iter} + sign \times (c_1.rand.(X_{j,ne}^{iter} - X_{j,no}^{iter})) \quad (18)$$

که تعداد زنبورهای بکار گرفته شده است و $Prob$ بردار شامل بهترین مقادیر تابع شایستگی است. در ادامه فلوچارت این الگوریتم در شکل ۴ نشان داده شده است. همانطور که مشاهده می شود با توجه به عدم قطعیت تولید انرژی خورشیدی و بادی، از روش مونت کارلو برای در نظر گرفتن مقادیر متفاوت واریانس استفاده شده و هر بار تابع بهینه سازی طی تکرارهای مختلف اجرا می شود. در واقع سناریوهای مختلف بر اساس میانگین و واریانس احتمالاتی تولید انرژی خورشیدی و بادی به کمک روش مونت کارلو فرض شده و الگوریتم برای هر کد اجرا می شود. بعد از رسیدن به نقطه همگرایی، قیدها و شرطهای مساله بررسی

بادی و خورشیدی، تابع هزینه در رابطه (۳) تغییر می کند و نقطه بهینه در هر حالت محاسبه می شود. قطعاً برای بهینه سازی تابع هدف رابطه (۳)، مجموعه ای از قیدها و شرایط داریم که در زیر آمده است:

$$\begin{aligned} & \sum_{i=1}^H \left\{ \sum_{j=1}^M P_{load,j,NDR}(t) + P_{wear}(t) \right\} \\ & = \sum_{i=1}^H \left\{ \sum_{j=1}^M P_{G,i}(t) U_i(t) \right. \\ & \quad \left. + \sum_{n=1}^N P_{WT}(t) + P_{PV}(t) \right. \\ & \quad \left. + P_{ESS}(t) \right\} \end{aligned} \quad (7)$$

این قید بیان می کند که توان بار مصرفی بایستی از مجموع توان خورشیدی و بادی و ذخیره ساز و توان پاسخ تقاضا کمتر باشد که تعادل توان انجام شود. در واقع این رابطه، رابطه اصلی تعادل بار در سیستم است. برای جلوگیری از شارژ و دشارژ همزمان بااتری، دو محدوده را باید به صورت زیر در نظر بگیریم:

$$P_{min,i}(t) \leq P_i(t) \leq P_{max,i}(t) \quad (8)$$

$$P_{Charg,e} \leq \gamma CP_{bat} \quad (9)$$

$$P_{Discharg,e} \leq (1-\gamma) CP_{bat} \quad (10)$$

که CP نشان دهنده ظرفیت بااتری است و γ متفاوت باینری شامل 0 و 1 است. دو قید بالا در واقع نشان دهنده غیر همزمانی شارژ و دشارژ بااتری است و در هنگام شارژ، بااتری نمی تواند دشارژ شود و برعکس. برای محدوده ظرفیت بااتری نیز داریم:

$$CP_{bat,min} \leq CP_{bat} \leq CP_{bat,max} \quad (11)$$

محدودیت دیگر ذخیره سازها بحث وضعیت شارژ است. وضعیت شارژ یک بااتری، انرژی موجود به عنوان درصدی از ظرفیت نامی آن است. برای افزایش عمر بااتری از دشارژ کامل یا فراشارژ کامل یا بایستی جلوگیری شود و بنابراین وضعیت شارژ معمولاً در یک محدودی مناسب باید قرار گیرد:

$$20\% CP_{bat} \leq SOC_{bat} \leq 90\% CP_{bat} \quad (12)$$

دیگر قیدهای مساله در ارتباط با محدوده توان منابع تجدیدپذیر، ذخیره ساز و پاسخ تقاضا در زیر آمده است:

$$\begin{aligned} P_{WT,min} & \leq P_{WT} \leq P_{WT,max} \\ P_{PV,min} & \leq P_{PV} \leq P_{PV,max} \\ P_{ESS,min} & \leq P_{ESS} \leq P_{ESS,max} \\ P_{DR} & \leq P_{DR,max} \end{aligned} \quad (13)$$

شکل ۵: دیاگرام توان‌های تولیدی و بار در ریزشبکه پیشنهادی در جدول ۱، میزان بهینه توان مرتبط با ذخیره ساز، سلول خورشیدی، توربین بادی، ژنراتور و پاسخ تقاضا ارایه شده است. این مقادیر با توجه به همگرایی الگوریتم بهینه‌سازی به دست آمده‌اند.

جدول ۱: توان المان‌های مساله پیشنهادی

المان	توان در طول سال (مگاوات)
ذخیره ساز	۱۶۵
ژنراتور	۴۳
سلول خورشیدی	۸۵۶
توربین بادی	۱۲۴
پاسخ تقاضا	۵۲

هزینه سیستم ریزشبکه در حالت‌های مختلف در یک سال در جدول ۲ توصیف شده است. دیده می‌شود که هزینه کلی ریزشبکه با اعمال الگوی پاسخ تقاضا و ذخیره‌ساز به طور قابل توجهی کاهش یافته است.

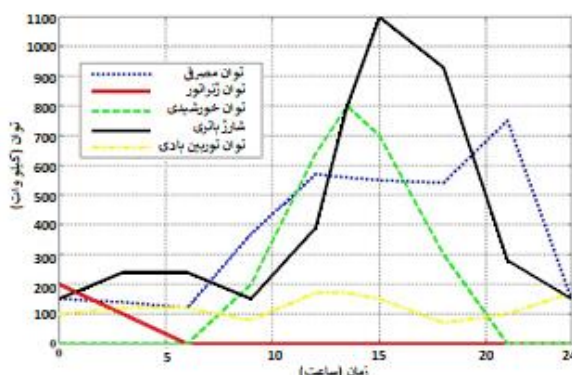
جدول ۲: هزینه سیستم

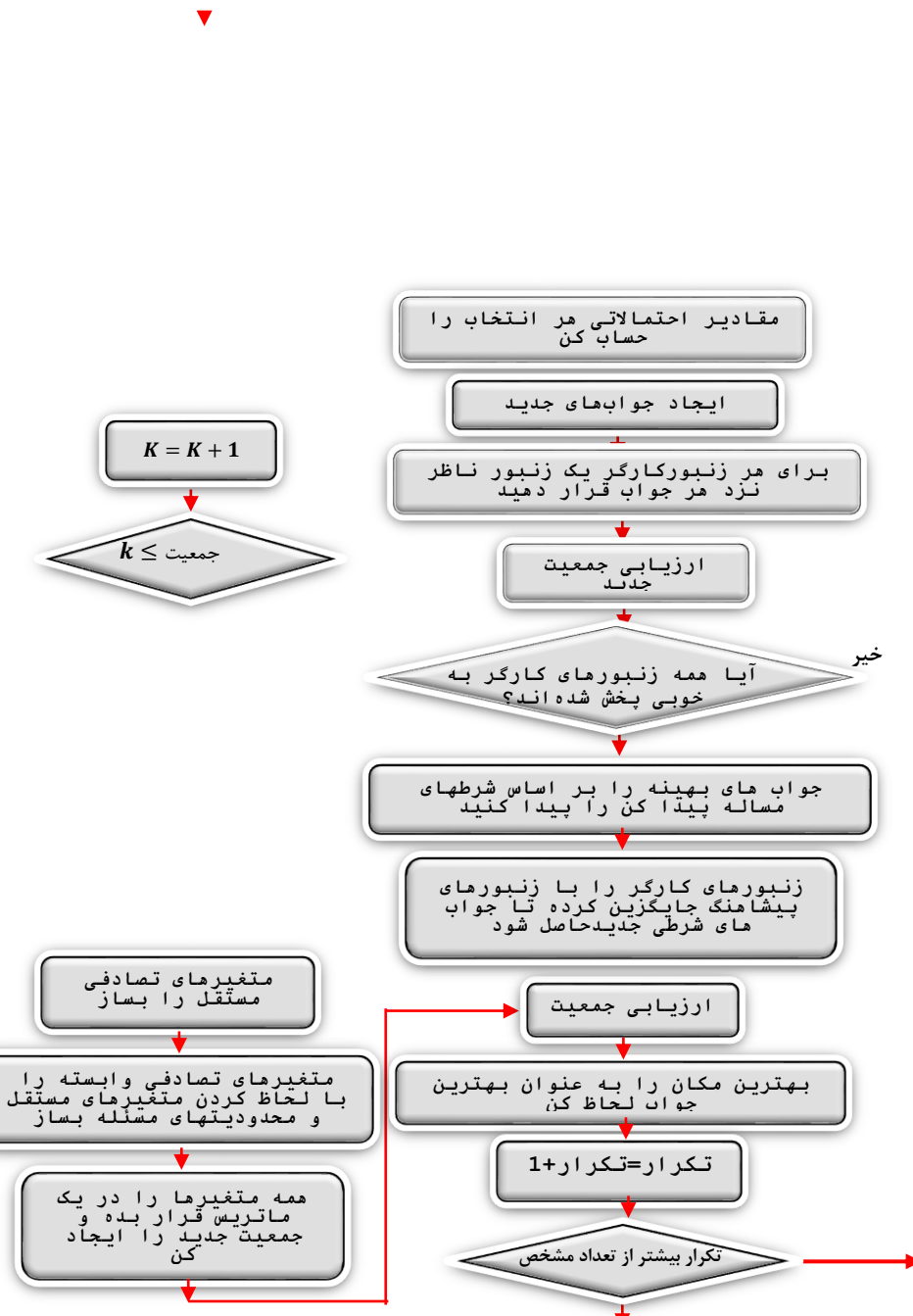
حالات مفروض	هزینه (میلیون دلار/سال)
ریزشبکه با سلول خورشیدی و توربین بادی	۱۵/۰۵
ریزشبکه با سلول خورشیدی، توربین بادی، ذخیره ساز و پاسخ تقاضا	۱۳/۴۰

می‌شود و در صورت تایید، الگوریتم به جواب بهینه می‌رسد. در غیر اینصورت دوباره به ابتدای روش مونت کارلو برگشته و حالت دیگری انتخاب شده وارد فرایند بهینه‌سازی می‌شود.

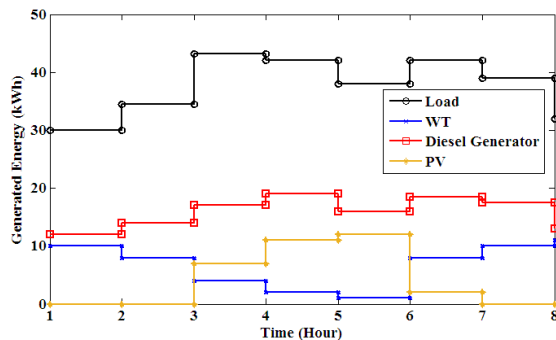
۵. نتایج شبیه‌سازی و بحث

در این بخش نتایج شبیه‌سازی ارایه شده است. در واقع عملکرد الگوریتم پیشنهادی و تاثیر آن بر هزینه سیستم در مقایسه با حالات و روش‌های دیگر بیان شده است. در شبیه‌سازی‌ها، برای ذخیره‌ساز لیتیوم-یون با بازدهی $\eta_d = 0.85$ ، پارامترهای هزینه‌ی طرفیت $\$/kwh = 400$ در نظر گرفته شده است. همچنین دیاگرام توان‌هزینه توان $\$/kW$ در طول یک شبانه‌روز در شکل ۵ نمایش داده شده است. همان‌طور که دیده می‌شود در برخی ساعات با استفاده از توان ذخیره شده در باتری، بارهای ریزشبکه به خوبی پوشش داده شده است که منجر به کاهش هزینه می‌شود.

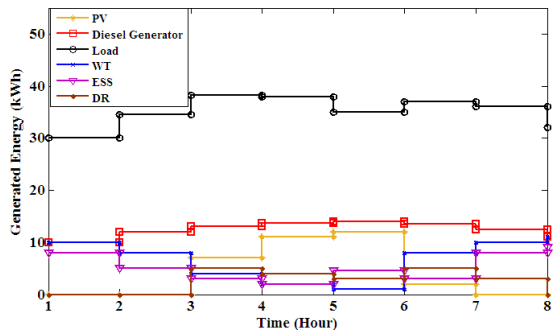




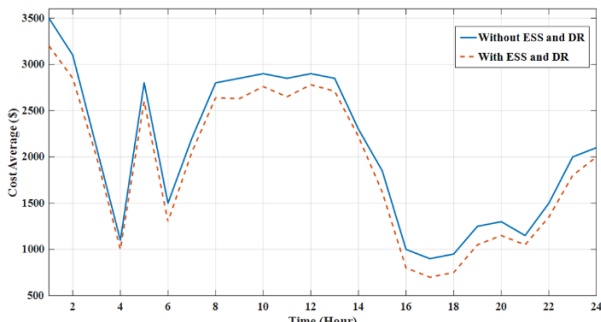
شکل ۴: فلوچارت الگوریتم کلونی زنبورها



شکل ۷: انرژی تولیدی و بار در سیستم بدون ذخیره ساز و پاسخ تقاضا



شکل ۸: انرژی تولیدی و بار در سیستم با ذخیره ساز و پاسخ تقاضا

شکل ۹: مقایسه هزینه متوسط سیستم با ذخیره ساز و پاسخ تقاضا و بدون آن
جدول ۴: اثر واریانس توان خورشیدی-بادی بر هزینه سیستم

هزینه کلی ریزشبکه (هزار دلار در سال)	هزینه توان خورشیدی (هزار دلار در سال)	واریانس
۳۵۰۰	۱۱۰۰	۰.۰۱
۳۶۷۰	۱۰۰۰	۰.۰۵
۳۸۰۰	۹۵۰	۰.۱

در انتها، پروفیل توان با اعمال روش پیشنهادی و درنظر گرفتن ذخیره ساز و پاسخ تقاضا در مقایسه با نبود این المان‌ها در شکل ۱۰ مقایسه شده است. می‌بینیم که تعییرات توان در حالت اعمال ذخیره‌ساز و الگوی پاسخ تقاضا کمتر بوده و پایداری توان ریزشبکه بیشتر است. در واقع نوسانات توان با استفاده از پایداری ناشی از ذخیره‌ساز، به وضوح بیشتر شده و این کار باعث افزایش قابلیت اطمینان سیستم و پایداری بیشتر توان شده است.

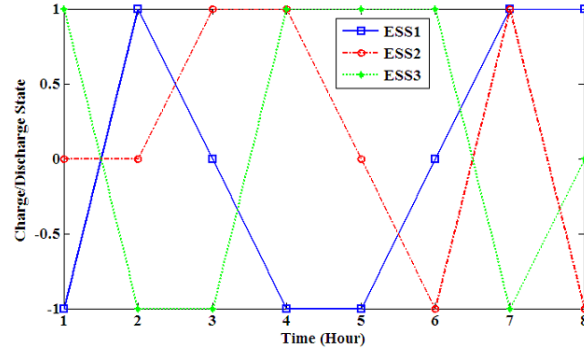
۶. نتیجه‌گیری

در ادامه به بیان باسهای بهینه برای نصب ذخیره ساز می‌پردازیم. در جدول ۳ مکان و ظرفیت بهینه با تری ذخیره ساز نمایش داده شده است. در شبیه‌سازی قید اعمال ۳ ذخیره‌ساز اعمال شده و الگوریتم کلونی زنبور، ظرفیت و مکان بهینه نصب ذخیره‌ساز را طبق جدول ۳ بیان کرده است. با توجه به جدول مشاهده می‌شود که ذخیره‌ساز طوری انتخاب شده که بتواند پوشش و تامین مناسبی در موقع حساس و پیک بار برای بار مشتریان داشته باشد.

جدول ۳: ظرفیت و مکان بهینه نصب ذخیره‌ساز

توان (مگاوات)	شماره ذخیره ساز	ظرفیت (مگاوات ساعت)	باس
۴۵	ESS ₁	۸۰	۳
۲۰	ESS ₂	۴۰	۱۰
۲۰	ESS ₃	۴۵	۱۹

الگوی شارژ-دشارژ ذخیره‌سازها در بازه‌های زمانی روزانه در شکل ۶ نشان داده شده است. با توجه به جدول قبل، سه ذخیره‌ساز برای تعادل بار و هزینه ریزشبكه انتخاب شده است. بازه‌های زمانی، ۳ ساعته انتخاب شده است (۱ به معنی دشارژ، ۰ به معنی شارژ و -۰ به معنی شارژ و نه دشارژ است).

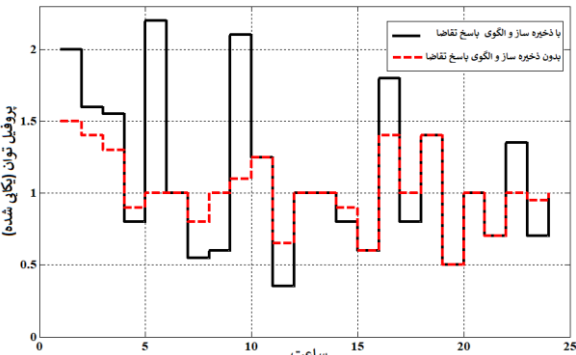


شکل ۶: دیاگرام الگوی شارژ-دشارژ باتری‌ها

در شکل‌های ۷ و ۸، تحلیل انرژی تولید شده در دو حالت بدون استفاده از سیستم ذخیره ساز و پاسخ تقاضا و با استفاده از این دو المان و فاکتور را نشان می‌دهد. مشاهده می‌شود که در حالت سیستم دارای ذخیره ساز و کاهش بار، انرژی تولید شده بسیار کاهش می‌باید و در مقابل در شکل ۷، با توجه به نبود باتری و پاسخ تقاضا، انرژی تولیدی تولید شده و بنابراین هزینه‌ها نیز افزایش می‌باید. همچنین در شکل ۹، هزینه متوسط در دو حالت استفاده از ذخیره ساز و پاسخ تقاضا و بدون استفاده از آنها نشان داده شده است. همانطور که مشاهده می‌شود هزینه شبکه با استفاده از ذخیره‌ساز بهینه و پاسخ تقاضای بهینه، کاهش یافته است. در ادامه در جدول ۴، تاثیر واریانس توان تولیدی خورشیدی و بادی بر هزینه کلی ریزشبکه را بررسی کرده‌ایم. با افزایش واریانس ممکن است هزینه تولید توان خورشیدی کمتر باشد، اما هزینه ذخیره ساز و یا بار پاسخ تقاضا بیشتر شده و اثر منفی بر هزینه کلی سیستم دارد.

- [9] M. Faisal, M. A. Hannan, P. J. Ker, A. Hussain, M. B. Mansor and F. Blaabjerg, "Review of Energy Storage System Technologies in Microgrid Applications: Issues and Challenges," in *IEEE Access*, vol. 6, pp. 35143-35164, 2018.
- [10] M. Brenna, F. Foiadelli, M. Longo and D. Zaninelli, "Energy Storage Control for Dispatching Photovoltaic Power," in *IEEE Transactions on Smart Grid*, vol. 9, no. 4, pp. 2419-2428, 2018.
- [11] Zhang, R.; Xia, B.; Li, B.; Cao, L.; Lai, Y.; Zheng, W.; Wang, H.; Wang, W. State of the Art of Lithium-Ion Battery SOC Estimation for Electrical Vehicles. *Energies* 2018, 11, 1820.
- [12] Sufyan M, Abd Rahim N, Tan C, Muhammad MA, Sheikh Raihan SR (2019) Optimal sizing and energy scheduling of isolated microgrid considering the battery lifetime degradation. *PLoS ONE* 14(2): e0211642.
- [13] H. Bludszuweit and J. A. Dominguez-Navarro, "A probabilistic method for energy storage sizing based on wind power forecast uncertainty," *IEEE Trans. Power Syst.*, vol. 26, no. 3, pp. 1651–1658, 2011.
- [14] Y. M. Atwa and E. F. El-Saadany, "Optimal allocation of ESS in distribution systems with a high penetration of wind energy," *IEEE Trans. Power Syst.*, vol. 25, no. 4, 2010.
- [15] A. S. A. Awad, T. H. M. El-Fouly, and M. M. A. Salama, "Optimal ESS allocation and load shedding for improving distribution system reliability," *IEEE Trans. Smart Grid*, vol. 5, Iss. 5, pp. 2339 – 2349, 2014.
- [16] A. S. A. Awad, T. H. M. EL-Fouly and M. M. A. Salama, "Optimal ESS Allocation for Load Management Application," *IEEE Trans. on Power Systems*, vol. 30, no. 1, pp. 327-336, 2015.
- [17] El-Bidairi, Kutaiba S., Nguyen, Hung Duc, Mahmoud, Thair S., Jayasinghe, S.D.G., Guerrero, Josep M. "Optimal sizing of Battery Energy Storage Systems for dynamic frequency control in an islanded microgrid: A case study of Flinders Island, Australia," *Energy*, vol. 195, SP. 117059, 2020.
- [18] M. Sedighizadeh, M. Esmaili, S. M. Mousavi-Taghiabadi, "Optimal joint energy and reserve scheduling considering frequency dynamics, compressed air energy storage, and wind turbines in an electrical power system", *Journal of Energy Storage*, vol. 23, pp. 220-233, 2019.
- [19] C. Abbey and G. Joos, "A stochastic optimization approach to rating of energy storage systems in wind-diesel isolated grids," *IEEE Trans. Power Syst.*, vol. 24, no. 1, pp. 418–426, 2009.
- [20] S. X. Chen, H. B. Gooi, and M. Q. Wang, "Sizing of energy storage for microgrids," *IEEE Trans. Smart Grid*, vol. 3, no. 1, 2012.
- [21] W. Yu, D. Liu, Y. Huang, "Operation Optimization Based on the Power Supply and Storage Capacity of an Active Distribution Network", *Energies*, vol. 6, pp. 6423-6438, 2013.
- [22] W. Shi, X. Xie, C. Chu, R. Gadh, "Distributed optimal energy management in microgrids," *IEEE Trans. Smart Grid*, vol. 6, pp. 1137-1146, 2015.
- [23] Angenendt, Georg, Zurmühlen, Sebastian, Figgener, Jan, Kairies, Kai-Philipp, Sauer, Dirk Uwe, "Providing frequency control reserve with photovoltaic battery energy storage systems and power-to-heat coupling," *Energy*, vol. 194, 116923, 2020.
- [24] R. Hemmati, S. M. S. Ghiasi, A. Entezariharsini, "Power fluctuation smoothing and loss reduction in grid integrated with thermal-wind-solar-storage units", *Energy*, vol. 152, no. 1, pp. 759-769, 2018.

در این مقاله با در نظر گرفتن منابع انرژی تجدیدپذیر و اعمال ذخیره ساز و الگوی پاسخ تقاضای مشتریان، نشان داده شد که هزینه های کلی ریز شبکه کاهش می یابد. توضیح بیشتر آنکه اگر صرفاً منابع تامین توان ثابت و تجدیدپذیر در ریز شبکه استفاده شود، تامین بار در موقع حساس و پیک بار غیرممکن شده و یا در صورت امکان، منجر به هزینه های زیادی خواهد شد. استفاده از ذخیره ساز اگرچه سرمایه گذاری اولیه نیاز دارد اما در مدت طولانی و بازه یک ساله منجر به کاهش هزینه ها می شود. هم چنین با اطلاع مشتریان از الگوی پاسخ تقاضای ریز شبکه و کاهش بار مصرفی در زمان های پیک و انتقال بار خود به موقع کم باری، هزینه ریز شبکه به طور قابل توجهی کاهش می یابد همانطور که در نتایج شبیه سازی این مقاله بیان شد.



شکل ۱۰: پروفیل توان با و بدون اعمال روشن پیشنهادی

مراجع

- [1] Wang, Y.; Huang, Y.; Wang, Y.; Yu, H.; Li, R.; Song, S. Energy Management for Smart Multi-Energy Complementary Micro-Grid in the Presence of Demand Response. *Energies* 2018, 11, 974.
- [2] Nojavan, Sayyad, Majidi, Majid, Esfetanaj, Naser Nourani, "An efficient cost-reliability optimization model for optimal siting and sizing of energy storage system in a microgrid in the presence of responsible load management," *Energy*, Vol. 139, pp. 89-97, 2017.
- [3] H. Ardestiri, S. M. Barakati and K. Ranjbar, "Using improved time of use demand response in optimal operation of microgrid," 20th Conference on Electrical Power Distribution Networks Conference (EPDC), Zahedan, 2015, pp. 117-122.
- [4] JING, Zhaoxia, ZHU, Jisong, HU, Rongxing, 2018, "Sizing optimization for island microgrid with pumped storage system considering demand response", *Journal of Modern Power Systems and Clean Energy*, 791 – 801, vol. 6, IS - 4.
- [5] Fady Y. Melhem. "Optimization methods and energy management in smart grids", Electric power. Université Bourgogne Franche-Comté, 2018. English. NNT: 2018UBFCA014.
- [6] M. R. Djalal, M. Yunus, A. Imran, H. Setiadi, "Capacitive energy storage (CES) optimization for load frequency control in micro hydro power plant using imperialist competitive algorithm (ICA)," *Int J Eng Technol*, vol. 5, no. 2, pp. 279-297, 2018.
- [7] M. Saffari, A. de Gracia, C. Fernandez, M. Belusko, D. Boer, L. F. Cabeza, "Optimized demand side management (DSM) of peak electricity demand by coupling low temperature thermal energy storage (TES) and solar PV," *Appl Energy*, vol. 211, pp. 604-616, 2018.
- [8] J. Hu, M. Sarker, J. Wang, F. Wen, W. Liu, "Provision of flexible ramping product by battery energy storage in day-ahead energy and reserve markets," *IET Gen Trans Dist.*, vol. 12 , Iss. 10, pp. 2256 – 2264, 2018.